

NO. 62-375

P-469~468467

条件でも $1\cdot5 \text{Nm}^3/\text{mn/t pig}$ のガス吹込で k_p は約 10% 程度増加し、この吹込速度を増加するにつれ k_p は大となり、 $6\cdot0 \text{Nm}^3/\text{mn/t pig}$ の速度では強制攪拌を行なわぬ場合の約 $2\cdot5 \sim 3\cdot2$ 倍程度の値となる。この場合もガス吹込速度の増大につれ脱炭速度も増加するが $1\cdot5 \sim 3\cdot0 \text{Nm}^3/\text{mn/t pig}$ の吹込速度の場合にはその脱炭速度は $0\cdot05 \sim 0\cdot11\%/\text{mn}$ で強制攪拌を行なわぬ場合よりかえつて脱炭速度は小さくなつており、 $6\cdot0 \text{Nm}^3/\text{mn/t pig}$ の場合にはじめて強制攪拌を行なわぬ場合と同等あるいはそれ以上の値となる。この点極めて興味があり、今後溶鋼の運動面あるいは反応面からさらに検討してみたい。

以上より上吹の場合に高度の脱燐を得るためにある程度の脱炭は必然的におこるが、強制攪拌の場合にはガス吹込速度の加減により、脱炭量をある限度以内に抑えて脱燐を行なうことも可能であることが推察される。

IV. 結 言

以上の結果を要約すれば

- (i) 上吹の場合、湯動きを良くすれば脱燐を促進する事ができるが、それにともなつて脱炭速度も大となる。
- (ii) 強制攪拌を与える場合、ガス吹込速度を増加するにつれて脱燐が促進される。
- (iii) 上吹の場合で高度の脱燐を得るには必然的にある程度の脱炭がおこるが、強制攪拌を与えた場合には脱炭量をある限度以内に抑えて脱燐を促進させることができる。

文 献

- 1) 渡辺、大石、山本、石橋: 鉄と鋼, 47 (1961), p. 355
- 2) L. von BOGDANDY: Arch. Eisenhüttenw., 29 (1959), s. 329
- 3) 田尻、吉田、島田、石橋: 鉄と鋼, 47 (1961), p. 352

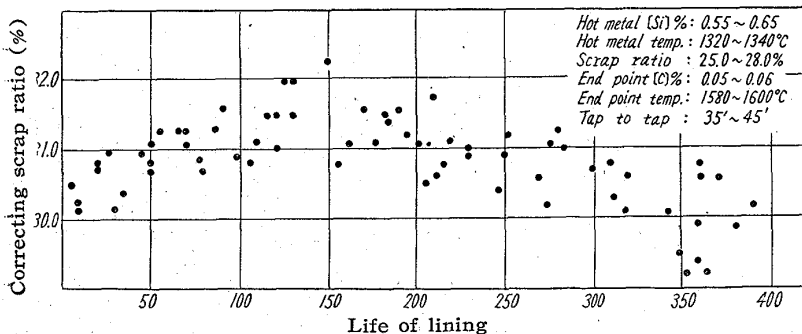


Fig. 1. Variation of correcting scrap ratio with lining life.

Table 1. Example of determination of the scrap ratio for each grade of steel and the lining life in the case of A%, average scrap ratio.

Type of grades	Rate of production	Average scrap ratio	Scrap ratio of different life of lining			
			1~100	101~200	201~300	301~400
Extralow-carbon steel	5.0%	A + 1.5%	A + 1.5%	A + 2.5%	A + 1.5%	A + 0.5%
Low-carbon steel	77.0%	A + 0.5%	A + 0.5%	A + 1.5%	A + 0.5%	A - 0.5%
Medium-carbon steel	18.0%	A - 2.5%	A - 2.5%	A - 1.5%	A - 2.5%	A - 3.5%

処して屑鉄配合率の細い変更を行なうことなく鋼浴温度調整ができることになる。

月間平均屑鉄配合率がA% (25%前後) 与えられた場合の鋼種別および炉持続回数ごとに区別した屑鉄配合率の1例をTable 1に示す。

溶鉄成分については [Si%] のみを考慮し、具体的には0.1%の変動に対して屑鉄配合換算値を1.3%，温度については10°Cの変動に対して0.6%の屑鉄配合換算値を用いて温度調整が行なわれる。操業速度に関しては作業待時間発生の場合に考慮されるが、たとえば60'の休止があつたとき炉回数100回前後で-1.0~-1.5%約300回では-1.5~-2.0%で、中途排滓法実施のときの吹鍊中止が約10'の場合には-2.5%でそれぞれ温度のバランスがとれている。副原料については次項で述べるが銘柄別に冷却効果を考慮して最終的な細い温度調整を行なつてある。その他実際連続操業においては前回の吹鍊結果の温度が一つの基準を与えてくれるので溶銑の条件も混銑炉2基の交互受出銑でかなり均一化され炉回数の影響の変化も小さいことから実際には吹鍊終温度の大きなバラツキは出ないこととなる。

III. 副原料の冷却効果

鋼浴温度調整用として副原料中の石灰石、スケールが使用される場合、その冷却効果については正しく把握しておく必要がある。戸畠転炉工場では稼動当初、洞岡転炉工場で調査されそれぞれの冷却効果をそのまま適用して支障なく操業を行なつたが既報のように装入量の増大をみたのでこれの再度調査を行なつて次のような結果を得ている。すなわちFig. 2およびFig. 3に示すとく冷

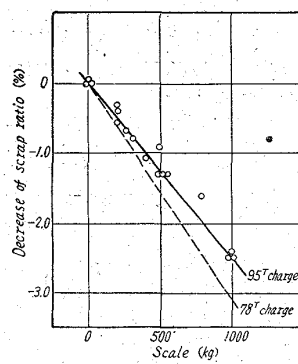


Fig. 2. Variation of scrap ratio with scale addition.

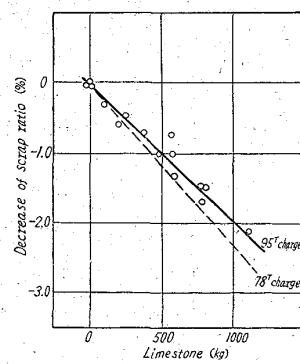


Fig. 3. Variation of scrap ratio with limestone addition.

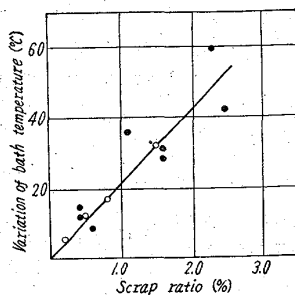


Fig. 4. Relation between variation of bath temperature and scrap ratio.

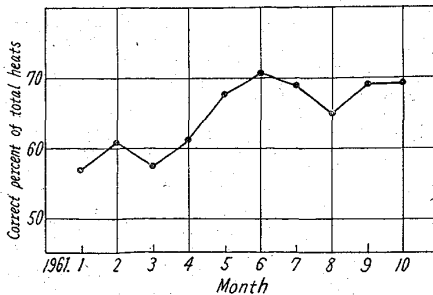


Fig. 5. Efficiency of bath temperature control.

却効果を次式で与えれば石灰石が1.8~1.9、スケールが2.4である。なお、生石灰については1.0が得られている。

$$\text{冷却効果} = T/\text{ch.} \times \text{屑鉄配合率換算値} \times \text{装入量}/100$$

これら冷却効果については、その品質、粒度、使用時期などの差異によって数値が違つてくる外、吹鍊諸条件(炉体、溶銑配合率、操業方法など)によつても變つてくる。

副原料中の石灰石、スケールによつて実際に温度調整を行なう場合は(Fig. 4)に示す屑鉄配合率と鋼浴温度変化の関係をもとに行なわれるが、吹鍊終点の鋼浴温度を一定とするための副原料使用量変化と屑鉄配合率の関係は次式で与えられることになる。

$$Sc(\%) = -1.2(\Delta X_2) - 2.3(\Delta X_2) - 3.1(\Delta X_3) + C \quad \dots \dots \dots 78T \text{ 装入の場合}$$

$$Sc(\%) = -1.0(\Delta X_1) - 2.0(\Delta X_2) - 2.5(\Delta X_3) + C \quad \dots \dots \dots 95T \text{ 装入の場合}$$

$$(\Delta X_1): \text{生石灰(T/ch)}, (\Delta X_2): \text{石灰石(T/ch)}, (\Delta X_3): \text{スケール(T/ch)}, C: \text{定数}$$

IV. 実際の鋼浴温度調整結果

この鋼浴温度調整方法による結果を吹鍊終温度適中率で示すとその推移は(Fig. 5)の通りである。なお低目および高目温度不適中に対する再吹鍊、放冷、冷却材投入などの温度調整処置をとるので実際の出鋼温度適中率としては95%以上のものとなつている。

V. 結 言

戸畠転炉工場での鋼浴温度調整は副原料中の主として石灰石、スケールによつて行なわれているが、最近の装入量増加後のそれぞれの冷却効果は1.8~1.9、および2.4であることが調査された。吹鍊終温度の適中率に関してはなお向上させる余地があり、鋼浴温度に対する変動要因の影響度について調査をすすめ、外部から燃料を供給しない純酸素上吹転炉の特性から熱化学解析による鋼浴温度調整の検討を続けることによつて適中率の一層の向上を計りたい。

66.1.18 4.244.66: 66.9.846.158.1.2
62.2.363.412: 66.9.846.

(76) 純酸素転炉における螢石の効果

について
富士製鉄広畠製鉄所
渡辺省三・平尾英二・本間悦郎・○古垣一成

On the Effect of Fluorspar in L.D. Process.

Shōzō WATANABE, Eiji HIRAO,
Etsuro HONMA and Itsusei FURUGAKI.

I. 緒 言

平炉、電気炉などにおいて、螢石が鋼滓の流动性におよぼす効果については周知のところであり、純酸素転炉でもその例外ではないが、純酸素転炉ではその精錬機構上、螢石による鋼滓の性状の変化は吹鍊の様相に影響し、その結果他の製鋼法の場合と若干趣を異にした効果をもたらすことを見出した。